

تأثير بارامترات القص بلزير CO_2 على عرض المنطقة المتأثرة بالحرارة في جانبي الشق الناتج عن قص ألواح الأكريليك

حسن أسد^{1*} محمد سعيد معروف²

*. مهندس ميكاترونيكس - ماجستير من المعهد العالي لبحوث الليزر وتطبيقاته - جامعة دمشق.

HasanAssad@Damascusuniversity.edu.sy

². دكتور، رئيس مختبر تقانات الليزر في المعهد العالي لبحوث الليزر وتطبيقاته - جامعة دمشق. عضو هيئة تدريسية في كلية الهندسة المعمارية – جامعة اليرموك الخاصة.

MohammadMarouf@Damascusuniversity.edu.sy

الملخص:

يهدف البحث لتحديد تأثير استطاعة الليزر، وسرعة القص، وسمكية الألواح، والبعد المحرقي، وضغط الغاز المساعد، على عرض المنطقة المتأثرة بالحرارة الناتجة عن عملية قص ألواح الأكريليك بلزير CO_2 النبضي ذو استطاعة عظمى تبلغ 160W، وقد تم تصميم التجربة وفق طريقة تاغوشى الإحصائية، والإعتماد على تحليل تاغوشى للحصول على القيم الإحصائية المطلوبة والمخططات البيانية التي توضح طبيعة العلاقة بين البارامترات المدروسة وبين الإستجابة الحاصلة، كما تم تنفيذ تحليل الإنحدار للحصول على معادلة انحدار تربط بين البارامترات المدروسة وبين عرض المنطقة المتأثرة بالحرارة.

وقد بينت النتائج أن ضغط الغاز المساعد له التأثير الأكبر على عرض المنطقة المتأثرة بالحرارة حيث يؤدي زيادة الضغط لإنفاص عرض هذه المنطقة، بينما يؤدي ازدياد استطاعة الليزر إلى انخفاضها حتى قيمة محددة يزداد بعدها عرض المنطقة المتأثرة بالحرارة مع ازدياد الإستطاعة، بينما يؤدي ازدياد سرعة القص أو سماكة الألواح إلى ازدياد عرض المنطقة المتأثرة بالحرارة حتى الوصول إلى قيمة محددة يبدأ بعدها عرض المنطقة بالقصان مع زيادة كل من سرعة القص أو سماكة الألواح، أما ازدياد موضع البعد المحرقي فيؤدي إلى ازدياد عرض المنطقة المتأثرة بالحرارة.

الكلمات المفتاحية: القص بالليزر، الأكريليك، عرض المنطقة المتأثرة بالحرارة، بارامترات القص، طريقة تاغوشى.

تاريخ الإيداع: 2023/3/15

تاريخ القبول: 2023/5/3



حقوق النشر: جامعة دمشق - سوريا، يحتفظ المؤلفون بحقوق النشر بموجب CC BY-NC-SA

The impact of CO_2 laser cutting parameters on the heat affected zone width on both sides of the kerf while cutting acrylic sheets.

Hasan Assad^{*1} Mohammad Saeed Marouf²

^{*1}. Mechatronics Engineer - a master's from the Higher Institute for LaserResearch and its Applications - Damascus University.

HasanAssad@Damascusuniversity.edu.sy

². Dr, Head of the Laser Technology Laboratory at theHigher Institute for Laser Research and Applications - Damascus University.

A faculty member at the Faculty of Architecture -Yarmouk Private University. MohammadMarouf@Damascusuniversity.edu.sy

Abstract:

The aim of this research is to investigate the affect of various parameters on the width of the heat affected zone during the process of cutting acrylic sheets with a pulse CO_2 laser having a maximum power of 160W. The parameters studied include laser power, cutting speed, sheet thickness, focal position, and auxiliary gas pressure. To achieve this objective, the researchers utilized the statistical Taguchi method to design the experiment and analyzed the results using regression analysis.

By analyzing the results, it was found that the auxiliary gas pressure has the most significant affecton the width of the heat-affected zone. As the pressure of the auxiliary gas increases, the width of the heat-affected zone decreases. Similarly, an increase in laser power leads to a decrease in the width of the heat-affected zone until a certain threshold is reached, beyond which the width starts to increase. On the other hand, an increase in cutting speed or sheet thickness leads to an increase in the width of the heat-affected zone until a certain point is reached, after which the width starts to decrease. Lastly, an increase in focal position results in an increase in the width of the heat-affected zone. It was obtained statistical values and charts that demonstrate the relationships between the studied parameters and the observed response.

Keywords: laser cutting, acrylic, cutting parameters, Taguchi method, heat affected zone.

Received: 15/3/2023

Accepted: 3/5/2023



Copyright: Damascus University- Syria, The authors retain the copyright under a

CC BY- NC-SA

عام (2016) قام الباحث Dalibor Petković وزملائه باستخدام نظام التنبؤ التكيفي الضبابي (adaptive neuro fuzzy inference system) للتنبؤ بقيم عرض المنطقة المتأثرة بالحرارة الناتجة عن قص مركبات البلاستيك المقوى بالألياف الزجاجية وتحديد تأثير سرعة القص واستطاعة الليزر وضغط الغاز المساعد وقد تبين أن سرعة القص لها التأثير الأكبر وضغط الغاز المساعد له التأثير الأصغر [5]. قام الباحث عزام جاسمي وزملائه عام (2018) بدراسة عملية قص صفائح الفولاذ الطرفي St37 بواسطة الليزر بالإعتماد على طريقة العناصر المنتهية لإجراء عملية محاكاة، وطريقة استجابة السطح لتصميم التجربة، وتبين أن زيادة استطاعة الليزر تزيد من عرض المنطقة المتأثرة بالحرارة، وزيادة سرعة القص تقلل من عرض المنطقة المتأثرة بالحرارة، بينما لم يكن هناك تأثير كبير لضغط الغاز المساعد [6].

في دراسة للباحث إلياس حدادي وآخرون عام (2019) حول قص ألواح البوليستيرين بلزير CO_2 تبين أن زيادة استطاعة الليزر وسرعة القص تنقص عرض المنطقة المتأثرة بالحرارة [7].

قام الباحث مرادي وآخرون عام (2020) بدراسة عملية قص ألواح البولي كربونات بلزير CO_2 للتحقق من تأثير بارامترات القص على عرض الشق العلوي والسفلي، والمنطقة العلوية المتأثرة بالحرارة، ونسبة عرض الشق العلوي إلى عرض الشق السفلي للشق، بالإضافة إلى تحليل التباين، وقد تبين أن زيادة سرعة القص وإنقاص استطاعة الليزر ينقص عرض المنطقة المتأثرة بالحرارة [8].

في دراسة للباحث Tan Hoai Nguyen وزملائه عام (2020) تمت دراسة تأثير استطاعة الليزر وسرعة القص ومعدل تكرار النبض في عملية قص صفائح الفولاذ

المقدمة:

عملية القص بالليزر هي عملية يتم فيها امتصاص طاقة شعاع الليزر من قبل المادة المراد قصها، مما ينتج عنه تسامي فوري وانصهار وتبخير للمادة يتم إزالة المواد المنصهرة والأبخرة الناتجة بواسطة الغاز المساعد [1].

وقد اكتسبت عمليات القص بالليزر اهتمام كبير في مختلف المجالات بسبب الدقة العالية التي تتحققها بالإضافة لكونها عملية نظيفة ذات كفاءة عالية وغير ذلك من المميزات التي لا يمكن تحقيقها في عمليات القص التقليدية الأخرى.

يعتبر الأكريليك أو البولي ميثيل ميثاكريلات Poly (methyl methacrylate) PMMA الحرارية المتميز بشفافيته المرتفعة لذلك يطلق عليه إسم البلاستيكي Glass وتميز مادة PMMA بانتشار حراري منخفض ($7 \times 10^{-7} \text{ m}^2/\text{s}$) ونقطة تسامي منخفضة (300°C)، مما يعزز جودة عملية القص ويقلل من وقته [2].

يتم استخدام ليزر ثاني أوكسيد الكربون بطول موجة (10.64 μm) على نطاق واسع لقص ألواح PMMA حيث يعمل الهيكل الجزيئي للأكريليك كوسسيط معتم مع امتصاص عالي لطاقة الليزر [2-3].

في أثناء عملية القص بالليزر تزداد درجة الحرارة بسرعة في المنطقة المشععة بسبب دورة التسخين القصيرة، والإنتشار الحراري المنخفض لـ PMMA، وهذا ما يؤدي إلى تكوين منطقة متأثرة بالحرارة (HAZ) Heat Affected Zone، مع خصائص ميكانيكية متغيرة في منطقة القطع وحولها.

قام الباحث Jarosz Krzysztof وزملائه عام (2016) بدراسة تأثير سرعة القص بالليزر على عرض المنطقة المتأثرة بالحرارة (HAZ) وخشونة السطح في الفولاذ المقاوم للصدأ AISI316L، وتبيّن أن انخفاض سرعة القص، يزيد عرض المنطقة المتأثرة بالحرارة ويقلل خشونة السطح [4].

أسد، معروف

تأثير بارامترات القص بليزر CO_2 على عرض المنطقة المتأثرة بالحرارة في جانبي

عوامل متحكم بها ويسهل معالجتها، وعوامل الضجيج يمكن التحكم بها في ظل ظروف المختبر ويصعب التحكم بها عندما يكون المنتج قيد الإستخدام الفعلي، لذلك تعتبر عوامل الضجيج هي سبب الاختلافات في الإستجابة عند تفريذ العملية الإنتاجية في الظروف الطبيعية [11].

والهدف الرئيسي من تصميم البارامترات الثابت هو تحديد قيم العوامل المتحكم بها التي تحقق متوسط الإستجابة المرغوبة والتي تجعل العملية الإنتاجية ثابتة الموصفات، أو أقل حساسية لتأثيرات عوامل الضجيج، وإنشاء التصميمات الثابتة، اقترح تاغوشي تصميم مصفوفتين، الأولى خاصة بالعوامل المتحكم بها وتسمى مصفوفة التحكم والثانية خاصة بعوامل الضجيج تسمى مصفوفة الضجيج، وعادةً ما تكون المصفوفتين متعامدين، يتم بعد ذلك مقاطعة كل مجموعة من مستويات مصفوفة العوامل المتحكم بها مع جميع مستويات مصفوفة الضجيج للحصول على مصفوفة مقاطعة [11].

يمكن استخدام هذه الطريقة لتحديد أهمية بارامترات التصميم وتأثيرها على استجابة واحدة أو أكثر من إستجابات العملية المدروسة (والتي تعرف بأنها مواصفات ونتائج هذه العملية) علاوة على ذلك، يمكن اختيار مستويات بارامترات التحكم في الإدخال، بحيث يتم إبطال التباين في إستجابات العملية بسبب بارامترات لا يمكن السيطرة عليها، عن طريق تحديد الإعداد الأمثل للبارامترات التي يمكن التحكم فيها للعملية، والتي تقلل من تأثير البارامترات التي لا يمكن السيطرة عليها [1].

وفي تطبيقات معالجة المواد، يمكن استغلال طريقة تاغوشي لتحديد المستويات المثلث لقيم البارامترات المؤثرة في العملية والتي تقلل من التباين في خصائص إستجابات عملية المعالجة باختيار المستويات المناسبة لبارامترات الإدخال [1].

السيلكوني وتم الإعتماد على النتائج التجريبية لتطوير نموذج ذكاء صناعي extreme learning machine (ELM) للتبؤ بقيم عرض المنطقة المتأثرة بالحرارة وتموج سطح القص وقد أظهرت النتائج أن هذه الإستجابات مرتبطة بقيم بارامترات القص المدروسة وأن (ELM) قادر على التنبؤ بقيم التموج وعرض المنطقة المتأثرة بالحرارة [9].

قام الباحث C. Leone وزملائه عام (2021) بدراسة عملية قص البلاستيك المقوى بألياف الكربون (CFRP) بواسطة ليزر الألياف النبضي وتبين أن زيادة استطاعة الليزر مع تقليل زمن النبضة يؤدي إلى تقليل عرض المنطقة المتأثرة بالحرارة ويساعد على القص بسرعة أكبر [10].

1- هدف البحث:

الهدف الأساسي من هذا البحث هو تحسين جودة الشق الناتج عن عملية قص ألواح الأكريليك بليزر CO_2 ، وذلك من خلال تقليل عرض المنطقة المتأثرة بالحرارة على جانبي الشق الناتج عند عملية قص الألواح، وذلك بدراسة تأثير بارامترات القص متمثلة باستطاعة الليزر، وسرعة القص، وضغط الغاز المساعد، وموضع بعد المحرقي، وسمكافة الألواح المقصوصة، وذلك بالإعتماد على طريقة تاغوشي الإحصائية ضمن برنامج MINITAB 19 ، ومن ثم القيام بتحليل الإنحدار لإيجاد معادلة الإنحدار التي تربط البارامترات المدروسة بالإستجابة الحاصلة (عرض المنطقة المتأثرة بالحرارة) حيث يمكن من خلال هذه المعادلة التنبؤ بقيم عرض المنطقة المتأثرة بالحرارة الناتجة عن تطبيق قيم محددة للبارامترات المؤثرة في عملية القص بالليزر.

2.1 طريقة تاغوشي:

طريق تاغوشي والتي يعبر عنها بتصميم البارامترات الثابت robust parameter design (RPD) هي منهجية مطورة قدمها Genichi Taguchi لتحسين جودة المنتج، حيث حدد تاغوشي نوعين من بارامترات الدخل في العملية وهي:

2- مواد وطرق البحث المستخدمة:

تم استخدام ثلاث سماكات مختلفة من ألواح الأكريليك موضحة في الجدول (1) لدراسة تأثير اختلاف سماكة ألواح في الإستجابة الحاصلة.

كما تم تطبيق ثلاث قيم لاستطاعة الليزر وسرعة القص، وقيمتين لضغط الغاز المساعد وموضع البعد المحرقي كما هو موضح في الجدول (1)، وبالإعتماد على برنامج MINITAB 19 لتصميم التجربة وفق طريقة تاغوشى تم الحصول على تصميم من النمط L36 حسب عدد قيم البارامترات المطبقة، ويوضح الجدول (2) تصميم تاغوشى الذي تم الحصول عليه حيث يمثل كل صف من المصفوفة قيم البارامترات الخاصة بكل تجربة من التجارب التي يجب تنفيذها.

تُغير قيمة موضع البعد المحرقي عن نسبة بعد نقطة تمرير شعاع الليزر عن سطح العينة المدروسة، وقد تم دراسة قيمتين لموضع المحرقة الأولى (%) وهي قيمة مرئية متتبعة في جميع العمليات الصناعية التي تم الإطلاع عليها دون أن يكون فيها توصية علمية، والثانية (50%) تم الإعتماد عليها لإحداث الفرق ودراسة تأثير التغيير في قيمة موضع المحرقة.

الجدول(2) قيم البارامترات المدروسة لكل تجربة حسب تصميم تاغوشى المعتمد

ومنها سبق نلاحظ أن طريقة تاغوشى تعتبر حلاً جيداً لدراسة تأثير بارامترات القص بالليزر المؤثرة في عرض المنطقة المتأثرة بالحرارة لتحديد القيم المثلثي التي تحافظ على ثبات مواصفات القص وتقليل التأثير بعوامل الضجيج المختلفة التي لا يمكن التحكم بها.

2.2 البرنامج الإحصائي المستخدم:

يعتبر برنامج MINITAB أحد أهم البرامج الإحصائية المستخدمة لتصميم التجارب (Design Of Experiment (DOE)) بمختلف الطرق المعروفة، حيث تم تضمين خوارزميات خاصة بكل نوع من أنواع تصميم التجارب بحيث يقوم تلقائياً بإنشاء التصميم المطلوب حسب عدد البارامترات وقيمها وأهميتها.

يقدم هذا البرنامج العديد من الميزات مثل:

إدخال البيانات وإنشاء الرسوم البيانية الخاصة بنتائج هذه البيانات، ومن ثم إجراء التحليلات الإحصائية المرغوبة، وبعدها يمكن تقييم الجودة، كما يمكن تصميم التجارب وإجراء التحليلات التنبؤية [12].

وفي هذا البحث تم الإعتماد على هذا البرنامج لتنفيذ تصميم تاغوشى المطلوب بحيث يتم اختيار نوع التصميم ثم تحديد عدد البارامترات المدروسة وهو خمسة بارامترات ومن ثم نقوم بإدخال قيم كل بارامتر من هذه البارامترات وهي موضحة في الجدول (1)، فيقوم البرنامج وفق تصميم تاغوشى بإنشاء التصميم الإحصائي بحيث نحصل على مصفوفة تجارب موضحة في الجدول (2) حيث يمثل كل صف فيها قيم البارامترات الخاصة بكل تجربة.

الجدول (1) يوضح قيم البارامترات المعتمدة في الدراسة

			الرمز	البارامتر
-	0.5	0	F	موضع البعد المحرقي Focus
-	1	0.4	P	ضغط الغاز المساعد Pressure(Bar)
135	60	30	PO	استطاعة الليزر Power(W)
50	30	10	S	سرعة القص Speed(mm/s)
10	6	2	T	سماكة ألواح Thickness(mm)

أسد، معروف

تأثير بارامترات القص بلزير CO_2 على عرض المنطقة المتأثرة بالحرارة في جانبي

المحرقى في العينات ذات السماكة 6mm تساوى (%)30، وفي العينات ذات السماكة 10mm تساوى (%)20، ومع ذلك تم التعبير عن موضع البعد المحرقى الثانى لجميع العينات بالقيمة (%)50 وذلك لتقليل عدد قيم البارامترات ضمن التصميم الإحصائى.

ضغط الغاز المساعد يعبر عن قيمة ضغط الغاز الذى يخرج من فوهة رأس القص الليزري بشكل متعدد المحور مع رأس القص وهو يساعد على إزالة المواد المنصهرة من منطقة القص ويساعد تراكم الأبخرة والغازات على سطح العدسة، ولهذا الغاز قيمة ضغط موصى بها من قبل الشركة المصنعة لآلية القص وتبلغ هذه القيمة (0.4 bar) وقد تم اختيار قيمة ثانية لضغط الغاز من أجل دراسة تأثير تغير قيمة الضغط على الإستجابة الحاصلة.

قيم استطاعة الليزر وسرعة القص المدروسة تم اختيارها تجريبياً بحيث يتم تحقيق عملية قص فعال للألواح المدروسة، أي بحيث تتحقق عملية القص في العينة المدروسة، مع مراعاة القيمة العظمى لأنبوب الليزر والتي تبلغ (160W).

-3 الأدوات المستخدمة لإجراء البحث:

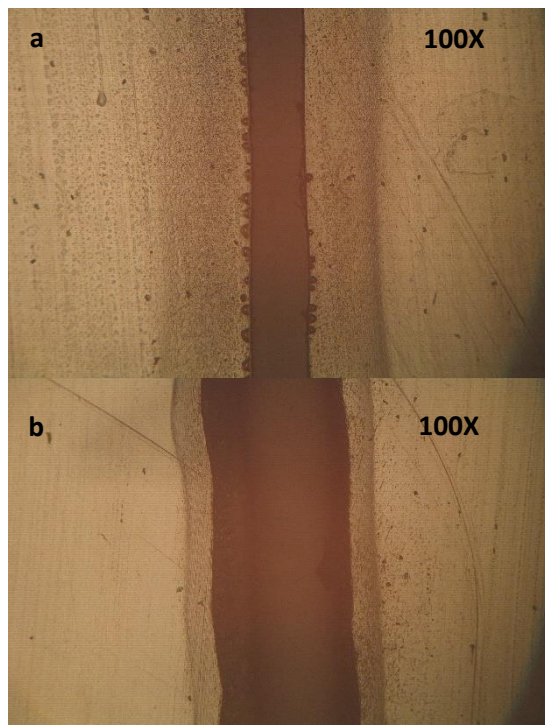
لتنفيذ عمليات قص ألواح الأكريليك تم استخدام آلة القص المؤتمتة computer numerical control (CNC) reci، استطاعتہ بأنبوب ليزري مختوم من تصنيع شركة (3)، ويتردد (f =20kHz)، ويتكون من ترسانة (P=160W)، مواصفات الأنابيب الليزري حسب الشركة المصنعة [13].

الجدول (3) مواصفات أنابيب الليزر

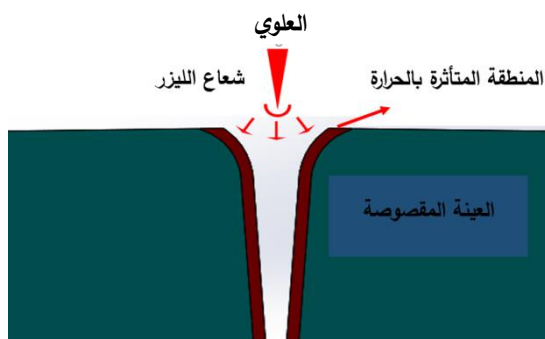
Focus	Pressure (bar)	Power (watt)	Speed (mm/s)	Thickness (mm)	رقم العينة
0	1	30	10	2	1
0	1	60	30	6	2
0	1	135	50	10	3
0	1	30	10	2	4
0	1	60	30	6	5
0	1	135	50	10	6
0	1	30	10	6	7
0	1	60	30	10	8
0	1	135	50	2	9
0	0.4	30	10	10	10
0	0.4	60	30	2	11
0	0.4	135	50	6	12
0	0.4	30	30	10	13
0	0.4	60	50	2	14
0	0.4	135	10	6	15
0	0.4	30	30	10	16
0	0.4	60	50	2	17
0	0.4	135	10	6	18
0.5	1	30	30	2	19
0.5	1	60	50	6	20
0.5	1	135	10	10	21
0.5	1	30	30	6	22
0.5	1	60	50	10	23
0.5	1	135	10	2	24
0.5	1	30	50	6	25
0.5	1	60	10	10	26
0.5	1	135	30	2	27
0.5	0.4	30	50	6	28
0.5	0.4	60	10	10	29
0.5	0.4	135	30	2	30
0.5	0.4	30	50	10	31
0.5	0.4	60	10	2	32
0.5	0.4	135	30	6	33
0.5	0.4	30	50	2	34
0.5	0.4	60	10	6	35
0.5	0.4	135	30	10	36

بسبب بنية آلية القص CNC المستخدمة في التجربة لم يتم التمكن من تحقيق قيمة البعد المحرقى الثانى في جميع العينات المدروسة، حيث اصطدم جسم رأس القص بسطح العينات ذات السماكة (6mm ، 10mm) قبل وصول البعد المحرقى إلى منتصفها، لذلك كانت القيمة الثانية للبعد

تأثير بارامترات القص بلizer CO_2 على عرض المنطقة المتأثرة بالحرارة في جانبي أسد، معروف المتأثرة بالحرارة بطرح القيمتين اللتين تم الحصول عليهما من بعضهما، وأدخلت هذه القيم في البرنامج الإحصائي لتنفيذ التحليل المطلوب.



الشكل (1) العينة رقم 11 : a) صورة الشق السفلي b) صورة الشق العلوي



الشكل (2) شكل توضيحي للمنطقة المتأثرة بالحرارة

5 - مناقشة النتائج:

بعد الحصول على قيم عرض المنطقة المتأثرة بالحرارة لكل عينة تم قصها تقوم بإدخال هذه القيم في البرنامج الإحصائي MINITAB بشكل متوافق مع قيم البارامترات التي تم الحصول عليها من تصميم تاغوشى والموضحة في

Model Name	Length (mm)	Diameter (mm)	Mounting Position (mm)	Ignition Voltage (KV)	Recommended Current (mA)	Target Power (W)	Max Power (W)
W6	1650	320	80	28	28	130	160

والعدسة المستخدمة في رأس القص لمحرقة شعاع الليزر مصنوعة من مادة سيليسيون الزنك ZnSe وهي ذات بعد محري يبلغ (101.6mm).

يتم التحكم بتشغيل آلة القص بالإعتماد على متحكم RuiDa.

وبعد تنفيذ عمليات القص تم فحص العينات باستخدام مجهر ضوئي حيث كانت دقة القياس (نسبة الخطأ) تساوي ($\pm 50\mu\text{m}$).

4 - تنفيذ التجارب:

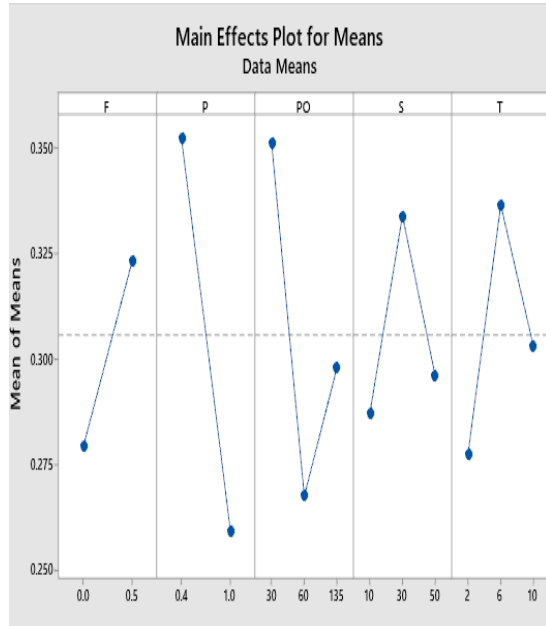
تم اختيار عينات مرتبة الشكل وتنفيذ عملية القص بشكل خط بطول (2cm) في كل عينة بحسب قيم البارامترات التي تم الحصول عليها من تصميم تاغوشى والموضحة في الجدول (2).

يبين الشكل (1) الصورة المجهرية لإحدى العينات المدرستة، والشكل (2) يبين شكل توضيحي لعرض المنطقة المتأثرة بالحرارة.

تمأخذ ثلات قراءات لكل من عرض الشق العلوي مع عرض المنطقة المتأثرة بالحرارة، وعرض الشق العلوي من دون المنطقة المتأثرة بالحرارة، وذلك من خلال فحص العينات تحت المجهر، ثم حساب المتوسط لكل من المجموعتين، واستخدام القيم الناتجة كقيمة عرض الشق العلوي مع المنطقة المتأثرة بالحرارة، وعرض الشق العلوي من دون المنطقة المتأثرة بالحرارة، ثم حسب عرض المنطقة

أسد، معروف

تأثير بارامترات القص بليزر CO_2 على عرض المنطقة المتأثرة بالحرارة في جانبي



الشكل (3) مخطط بياني يوضح استجابة عرض المنطقة المتأثرة بالحرارة لبارامترات القص المدروسة

كما يمكننا الحصول على مخطط بياني يبين طبيعة العلاقة بين متوسط قيمة عرض المنطقة المتأثرة بالحرارة وبين قيم البارامترات المدروسة كما هو موضح في الشكل (3).

ومن الشكل (3) يمكننا ملاحظة تأثير ضغط الغاز المساعد على عرض المنطقة المتأثرة بالحرارة، إذ يؤدي ازدياد ضغط الغاز المساعد لنقصان عرض المنطقة المتأثرة بالحرارة، كما يؤدي ازدياد استطاعة شعاع الليزر أيضاً إلى نقصان عرض المنطقة المتأثرة بالحرارة حتى الوصول إلى قيمة محددة تبدأ بعدها قيمة عرض المنطقة المتأثرة بالحرارة بالإزدياد، أما بالنسبة لسرعة القص وسماكنة الصفيحة، نلاحظ أن ازدياد سرعة القص يؤدي إلى ازدياد عرض المنطقة المتأثرة بالحرارة حتى الوصول إلى القيمة (30 mm/s) ثم تنقص قيمة عرض المنطقة المتأثرة بالحرارة مع ازدياد السرعة، ونلاحظ أيضاً أن ازدياد سماكة اللوح يؤدي إلى ازدياد عرض المنطقة المتأثرة بالحرارة حتى القيمة (6 mm)

الجدول (2)، وبالتالي تكون قد سجلنا قيمة عرض المنطقة المتأثرة بالحرارة الموافقة لكل تجربة من تجارب تصميم تاغوشي المعتمد، وبعد ذلك نقوم بتنفيذ تحليل تاغوشي للحصول على القيم الإحصائية والمخططات البيانية التي يمكن الإعتماد عليها لتفسير النتائج وإيجاد العلاقات بين البارامترات المدروسة والإستجابة الحاصلة.

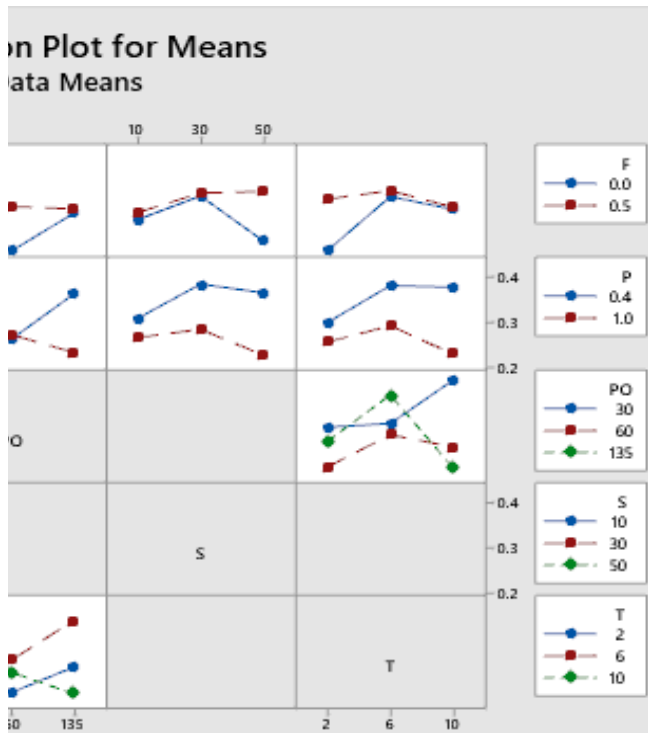
من تحليل تاغوشي ضمن برنامج Minitab يمكننا الحصول على الجدول (4)، والذي يوضح متوسط قيم عرض المنطقة المتأثرة بالحرارة المقابلة لقيم البارامترات التي تم فحصها، وترتيب أهمية هذه البارامترات، إذ نلاحظ أن لضغط الغاز المساعد الأهمية الأكبر من ناحية التأثير في عرض المنطقة المتأثرة بالحرارة، يليه إستطاعة شعاع الليزر، ثم سماكة الألواح، ثم سرعة القص، وأخيراً تأثير موضع البعد المحرقي.

الجدول (4) قيم استجابة المنطقة المتأثرة بالحرارة المقابلة لقيم البارامترات المدروسة وترتيب أهمية البارامترات على عرض المنطقة المتأثرة بالحرارة

Level	F	P	PO	S	T
1	0.2792	0.3523	0.3515	0.2870	0.2775
2	0.3233	0.2590	0.2675	0.3340	0.3365
3			0.2980	0.2960	0.3030
Delta	0.0442	0.0933	0.0840	0.0470	0.0590
Rank	5	1	2	4	3

أسد، معروف

تأثير بارامترات القص بلizer CO_2 على عرض المنطقة المتأثرة بالحرارة في جانبي



موضع البعد المحرقي بالرغم من أنه ذو أقل تأثيراً على عرض المنطقة المتأثرة بالحرارة، إلا أنه أقل تأثيراً أيضاً ببقية البارامترات، حيث يؤدي ازدياد موضع البعد المحرقي إلى ازدياد عرض المنطقة المتأثرة بالحرارة، ونلاحظ أيضاً أن ازدياد موضع البعد المحرقي يقلل من حدة استجابة عرض المنطقة المتأثرة بالحرارة لتغيرات البارامترات الأخرى كاستطاعة الليزر وسرعة القص وسمكية الألواح.

الشكل (4) مخطط التأثيرات المتبادلة بين البارامترات المدروسة وتأثيرها في عرض المنطقة المتأثرة بالحرارة

لذلك نلجم إلى إزالة أحد البارامترات (ذات العدد المختلف من القيم) والمضمنة في التحليل المطلوب، أي نقوم بتضمين أربع بارامترات بدلاً من خمسة (نقوم مثلاً بتضمين إستطاعة الليzer وسرعة القص وسمكية الألواح وضغط الغاز المساعد، بصرف النظر عن البعد المحرقي)، ثم نقوم بإعادة التحليل مرة أخرى، ليتسنى لنا تحليل التأثيرات المتبادلة بين جميع البارامترات، فنحصل على المخطط البياني الموضح في الشكل (5).

ثم تنقص قيمة عرض المنطقة المتأثرة بالحرارة مع ازدياد السماكة، أما ازدياد قيمة البعد المحرقي يؤدي إلى ازدياد قيمة عرض المنطقة المتأثرة بالحرارة بشكل مستمر. كما يمكننا تحليل التأثيرات المتبادلة بين بارامترات عملية القص، وتأثيرها في عرض المنطقة المتأثرة بالحرارة، والحصول على المخطط البياني الموضح في الشكل (4). نلاحظ من خلال الشكل (4) أن ضغط الغاز المساعد له تأثير قوي و وسيطر على جميع البارامترات الأخرى بالنسبة لعرض المنطقة المتأثرة بالحرارة، وهذا ما يمكن التأكد منه بالرجوع إلى قيم أهمية البارامترات الموضحة في الجدول (4) إذ يؤدي ازدياد ضغط الغاز المساعد إلى نقصان عرض المنطقة المتأثرة بالحرارة.

أسد، معروف

تأثير بارامترات القص بلizer CO_2 على عرض المنطقة المتأثرة بالحرارة في جانبي

الشكل (5) مخطط التأثيرات المتبادلة بين (ضغط الغاز المساعد، استطاعة الليزر، سرعة القص، سمكية الألواح) وتأثيرها على عرض المنطقة المتأثرة بالحرارة

ويؤدي ازدياد سرعة القص إلى ازدياد قيمة عرض المنطقة المتأثرة بالحرارة إلى حد معين تعود بعده هذه القيمة إلى النقصان، ولكن شدة هذه التغيرات تكون أكبر عند السمكيات الأكبر والإستطاعات الأقل.

ويؤدي ازدياد سمكية الألواح إلى ازدياد عرض المنطقة المتأثرة بالحرارة إلى قيمة محددة تبدأ بعدها قيمة عرض المنطقة المتأثرة بالحرارة بالنقصان، إلا أن هذا التأثير يكون مختلفاً عند قيمة الإستطاعة المنخفضة، إذ يؤدي ازدياد السمكية إلى ازدياد عرض المنطقة المتأثرة بالحرارة، ويصبح هذا الإزدياد حاداً كلما زادت سمكية الألواح.

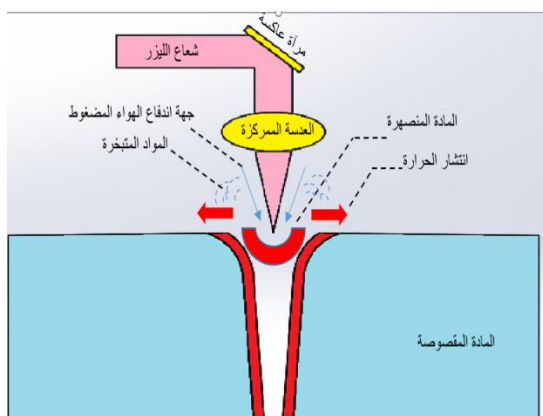
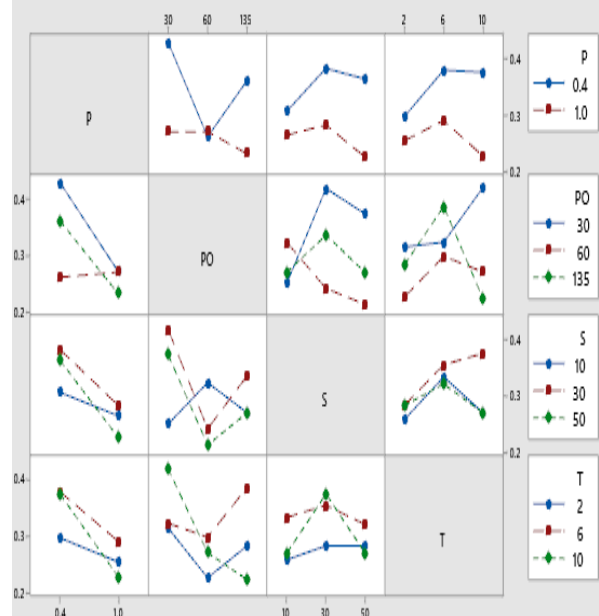
6- التحليل:

يمكن تفسير هذه التأثيرات المتبادلة بين البارامترات المختلفة بأنه وفي أثناء عملية القص يقوم شعاع الليزر بصهر منطقة

ونلاحظ من الشكل (5) أن ازدياد استطاعة الليزر بشكل عام يؤدي إلى نقصان عرض المنطقة المتأثرة بالحرارة حتى الوصول إلى قيمة معينة تبدأ بعدها قيمة عرض المنطقة المتأثرة بالحرارة بالإزدياد، ولكن هذا التأثير للإستطاعة يكون أقل عند السمكيات الكبيرة، كما نلاحظ أن هذه العلاقة تصبح عكسية عند سرعة القص المنخفضة، أو ضغط الغاز المرتفع، إذ يؤدي ازدياد الإستطاعة إلى ازدياد عرض المنطقة المتأثرة بالحرارة ثم إلى نقصانها بعد قيمة معينة.

Interaction Plot for Means

Data Means



القص في المكان الذي يُضبط فيه البعد المحرقي، وعندما تُصهر المادة وتحول إلى مادة سائلة منصهرة فإنها سوف تنتقل الحرارة إلى النقاط المجاورة لها من المادة كما هو موضح في الشكل (6)، وهنا نلاحظ أن ازدياد ضغط الغاز المساعد يزيد من كفاءة إزالة المواد المنصهرة، ومن ثم يقلل من انتقال الحرارة إلى النقاط المجاورة للشق، أما ازدياد موضع البعد المحرقي فهو يؤدي إلى تعرض مساحة أكبر من المادة لشعاع الليزر، ومن ثم للحرارة الناتجة عن هذا الشعاع، وهذا ما يزيد من عرض المنطقة المتأثرة بالحرارة على جانبي الشق.

أسد، معروف

تأثير بارامترات القص بلizer CO_2 على عرض المنطقة المتأثرة بالحرارة في جانبي

إلى ازدياد عرض المنطقة المتأثرة بالحرارة، وبعد ازدياد الإستطاعة أكثر ستبدأ المادة التي تعرضت للحرارة بالإنصهار وتساهم في توسيع الشق ونقصان عرض المنطقة المتأثرة بالحرارة، وهذا هو تفسير كون الخط البياني لاستجابة عرض المنطقة المتأثرة بالحرارة بالنسبة لاستطاعة الليزر عند السرعات المنخفضة بهذا الشكل.

بالنسبة لسرعة القص، نلاحظ أن ازدياد السرعة يزيد من عرض المنطقة المتأثرة بالحرارة حتى الوصول إلى قيمة معينة ينقص بعدها عرض المنطقة المتأثرة بالحرارة مع ازدياد السرعة، وهذا يمكن تفسيره بأن ازدياد السرعة في المرحلة الأولى يؤدي إلى مرور شعاع الليزر على نقاط العينة دون أن يتمكن من صهر المادة بشكل كامل بسبب صغر زمن تعرض المادة للشعاع مع ازدياد السرعة، ولكن إن استمرت السرعة في الإزدياد فإن تأثير استطاعة الليزر على المادة سوف ينخفض أيضاً بسبب صغر زمن التعرض أكثر، ومن ثم سيقل تأثير الشعاع على المادة أكثر، حتى على مستوى التأثر بالحرارة، ولكننا نلاحظ أنه عند قيمة معينة لاستطاعة الليزر فإن ازدياد سرعة القص يؤدي إلى نقصان عرض المنطقة المتأثرة بالحرارة بشكل مستمر ضمن القيم المدروسة، وهذا يشير إلى الإرتباط القوي بين تأثير السرعة والإستطاعة على عرض المنطقة المتأثرة بالحرارة، إذ توجد قيمة محددة للاستطاعة تكون عندها قيم السرعات المدروسة مناسبة بحيث يقوم الشعاع بصهر المادة وقد تم تسجيل العينات ذات القيم الأكبر والأصغر لعرض المنطقة المتأثرة بالحرارة في الجدول (5).

الجدول (5) يوضح العينات ذات القيم الأكبر والأصغر لعرض المنطقة

المتأثرة بالحرارة

النوع المحرر	الضغط (bar)	الاستطاعة (watt)	الاستطاعة (mm ² /s)	السرعة (mm/min)	عرض المنطقة المتأثرة (mm)
0	0.4	60	50	2	0.1
0	0.4	30	30	10	0.9

الشكل (6) رسم توضيحي لآلية تشكيل المواد المنصهرة والانتقال الحراري ضمن المادة

وبالنسبة لاستطاعة شعاع الليزر، ومن خلال النظر إلى المخطط البياني الذي يوضح العلاقة بين استطاعة الشعاع وعرض المنطقة المتأثرة بالحرارة، يمكننا القول بأن طبيعة هذه العلاقة ليست بعلاقة خطية، فقد تكون علاقة من الدرجة الثانية أو الثالثة ما بين استطاعة الشعاع وعرض المنطقة المتأثرة بالحرارة، وهذا ما يفسر وجود تغير في منحى الإستجابة عند قيم معينة لاستطاعة الليزر. ويمكن تفسير هذه العلاقة غير الخطية بأن استطاعة الليزر هي التي تسبب بالأساس عملية انصهار المادة قبل إزالتها لتحقيق الشق، لذلك فإن ازدياد شدة شعاع الليزر يؤدي إلى انصهار المواد بشكل أسرع، فإن تمت إزالتها بسرعة مناسبة عبر ضغط الغاز فهذا ينقص من عرض المنطقة المتأثرة بالحرارة، ولكن الإستمرار في ازدياد استطاعة الليزر لحد أعلى مما هو مطلوب سوف يؤدي إلى انتشار أكبر للحرارة حول منطقة القص، وهي الحرارة الناتجة عن الإستطاعة الإضافية والتي لن تستخدم في صهر المادة ضمن الشق، وهذا بدوره سوف يزيد من عرض المنطقة المتأثرة بالحرارة، ومما يعزز هذه النظرية هي ملاحظة أن ازدياد سرعة القص مع ازدياد استطاعة الليزر تقلل من تأثير استطاعة الليزر على عرض المنطقة المتأثرة بالحرارة، لأن ازدياد السرعة يقلل من زمن تعرض المادة للشعاع والانتقال الحراري، كما أنتا نلاحظ في السرعات المنخفضة جداً، أن حدود الإستطاعة الدنيا يؤدي وبتخりها، ويقوم الغاز المساعد بإزالتها خلال زمن متافق مع السرعة التي تسبب الإنتقال إلى نقطة أخرى من المادة قبل أن يحصل تأثير حراري في النقاط المجاورة للشق الناتج.

سماكة المادة المقصوصة لها دور في اختزان الطاقة ونشرها بشكل حرارة ضمن المادة، لذلك نلاحظ أن ازدياد السماكة يزيد عرض المنطقة المتأثرة بالحرارة إلى حد ما، ولكن مع ازدياد السماكة أكثر يصبح لها تأثير مشتت للحرارة ومن ثم ينقص عرض المنطقة المتأثرة بالحرارة.

<p>أسد، معروف</p> <p>تأثير بارامترات القص بلizer CO_2 على عرض المنطقه المتأثرة بالحرارة في جانبي في الجدول (6)، وهذا يشير إلى ضعف قدرة هذه المعادلة عن التعبير عن العلاقة بين استجابة عرض المنطقه المتأثرة بالحرارة وبين البارامترات المدروسة.</p> <p>كما نلاحظ أن قيمة احتمال الخطأ P-Value تبلغ (0.535) تشير إلى ضعف معنوية معادلة الإنحدار في التعبير عن العلاقة بين البارامترات المدروسة وبين الإستجابة الحاصلة.</p> <p>الجدول (6) يبين قيم معاملات الإرتباط الخاصة بمعادلة الانحدار</p>	<p>هذه القيم الموضحة في الجدول (5) تتفق مع المنحنيات البيانية إذ نلاحظ أنه وفي السماكة (2mm) فإنه لنقصان عرض المنطقه المتأثرة بالحرارة ينبغي إنقاذه موضع البعد المحرقي واختيار استطاعة متوسطة وأعظم سرعة.</p> <p>في حين في السماكات ذات (10mm) فإن نقصان موضع البعد المحرقي واستطاعة الليزر واختيار سرعة قص متوسطة، يؤدي إلى ازيداد عرض المنطقه المتأثرة بالحرارة.</p> <p>7.1 معادلة الإنحدار الخاصة بعرض المنطقه المتأثرة بالحرارة:</p> <p>يعد تحليلاً الإنحدار الخطى من أهم الطرق الإحصائية لفحص العلاقة الخطية بين استجابة واحدة وبين بارامتير واحد أو أكثر من البارامترات المستقلة المؤثرة في الإستجابة، ويعتبر معامل التحديد (R^2) مقياساً لجودة ملائمة معادلة الإنحدار، وهو عبارة عن مربع معامل الإرتباط بين النتائج المسجلة وبين النتائج التي تم التنبؤ بها، وهو الذي يعطينا المعلومات المعتبرة عما يستطيع هذا النموذج تفسيره من التغيرات (الإستجابة المقدرة)، وعما لا يستطيع تفسيره (الخطأ العشوائي)، أما اختبارات الأهمية لبارامترات الإنحدار فتتم عن طريق حساب "احتمال الخطأ" (Probability error) (P-Value) فإذا كان احتمال الخطأ أقل من 5%， فإن التأثير يعد مهمًا [14].</p> <p>بتطبيق تحليلاً الإنحدار على البيانات المدروسة يمكننا الحصول على معادلة إنحدار من الدرجة الثانية تربط البارامترات المدروسة بالإستجابة الحاصلة لعرض المنطقه المتأثرة بالحرارة كما هو موضح في العلاقة (1):</p> $ \begin{aligned} \text{Heat} = & 0.137 + 0.182 F - 0.089 P \\ \text{Affected} = & 0.00262 PO + 0.0147 S \\ \text{Zone} = & + 0.0629 T + 0.000013 PO*PO - \\ & 0.000262 S*S - 0.00322 T*T \\ & + 0.199 F*P - 0.00420 F*PO \\ & + 0.0066 F*S - 0.0125 F*T \\ & + 0.00204 P*PO - 0.00872 P*S - \\ & 0.0059 P*T + 0.000037 PO*S - \\ & 0.000179 PO*T + 0.000151 S*T \end{aligned} $ <p>وبملاحظة القيم الإحصائية التي تم الحصول عليها من تحليلاً الإنحدار نلاحظ أن قيمة معامل التحديد صغيرة كما هو موضح</p>
<p>- ضغط الغاز المساعد له التأثير الأهم على عرض المنطقه المتأثرة بالحرارة، يليه استطاعة شعاع الليزر، ثم سماكة الألواح، ثم سرعة القص، وأخيراً موضع البعد المحرقي.</p> <p>- عدم إزالة المواد المنصهرة من منطقة القص يزيد من انتقال الحرارة إلى نقاط مجاورة من المادة، وهذا يحصل عندما ينقص ضغط الغاز المساعد.</p> <p>- نقصان استطاعة شعاع الليزر إلى حدود معينة قد يؤدي إلى انتقال حراري ضمن مادة الأكريليك دون حدوث انصهار وت bx، ومن ثم ازيداد عرض المنطقه المتأثرة بالحرارة.</p> <p>- ازيداد إستطاعة الليزر بشكل أكبر مما تتطلبه عملية الإنصهار والت bx يؤدي إلى ازيداد عرض المنطقه المتأثرة بالحرارة.</p> <p>- ازيداد سرعة القص يقلل من شدة تعرض المادة لشعاع الليزر، ومن ثم يحدث انتقال حراري أكبر من نسبة انصهار المادة وت bxها، وبالتالي يؤدي لازيداد عرض المنطقه المتأثرة بالحرارة.</p>	<p>7- الاستنتاجات:</p> <p>النتائج التي تم التنبؤ بها، وهو الذي يعطينا المعلومات المعتبرة عما يستطيع هذا النموذج تفسيره من التغيرات (الإستجابة المقدرة)، وعما لا يستطيع تفسيره (الخطأ العشوائي)، أما اختبارات الأهمية لبارامترات الإنحدار فتتم عن طريق حساب "احتمال الخطأ" (Probability error) (P-Value) فإذا كان احتمال الخطأ أقل من 5%， فإن التأثير يعد مهمًا [14].</p> <p>بتطبيق تحليلاً الإنحدار على البيانات المدروسة يمكننا الحصول على معادلة إنحدار من الدرجة الثانية تربط البارامترات المدروسة بالإستجابة الحاصلة لعرض المنطقه المتأثرة بالحرارة كما هو موضح في العلاقة (1):</p> $ \begin{aligned} \text{Heat} = & 0.137 + 0.182 F - 0.089 P \\ \text{Affected} = & 0.00262 PO + 0.0147 S \\ \text{Zone} = & + 0.0629 T + 0.000013 PO*PO - \\ & 0.000262 S*S - 0.00322 T*T \\ & + 0.199 F*P - 0.00420 F*PO \\ & + 0.0066 F*S - 0.0125 F*T \\ & + 0.00204 P*PO - 0.00872 P*S - \\ & 0.0059 P*T + 0.000037 PO*S - \\ & 0.000179 PO*T + 0.000151 S*T \end{aligned} $ <p>وبملاحظة القيم الإحصائية التي تم الحصول عليها من تحليلاً الإنحدار نلاحظ أن قيمة معامل التحديد صغيرة كما هو موضح</p>
<p>- ازيداد سرعة القص يقلل من شدة تعرض المادة لشعاع الليزر، ومن ثم يحدث انتقال حراري أكبر من نسبة انصهار المادة وت bxها، وبالتالي يؤدي لازيداد عرض المنطقه المتأثرة بالحرارة.</p>	<p>12</p>

- أسد، معروف تأثير بارامترات القص بلizer CO_2 على عرض المنطقة المتأثرة بالحرارة في جانبي
- ازدياد السرعة أكثر من قيمة حدود يقلل نسبة الإنقال الحراري في المادة وبالتالي يقلل من عرض المنطقة المتأثرة بالحرارة.
- التمويل: هذا البحث ممول من جامعة دمشق وفق رقم التمويل (501100020595).
- سماكة الألواحهي التي يحدث فيها اكتساب الحرارة اللازمة للصهر والتبيخ، لذلك ازدياد السماكة يعني ازدياد الإنقال الحراري ضمن المادة بحدود أقل من الحرارة اللازمة للصهر والتبيخ، مما يؤدي إلى ازدياد عرض المنطقة المتأثرة بالحرارة أما مع الإستمرار في ازدياد سماكة الألواح فيحدث تشتت للحرارة، ومن ثم نقصان لعرض المنطقة المتأثرة بالحرارة.
- ازدياد موضع البعد المحرقي يؤدي إلى ازدياد عرض المنطقة المتأثرة بالحرارة.
- لم يتم التمكن من الحصول على معادلة انحدار خطية تعبّر عن العلاقة بين البارامترات المدروسة وعرض المنطقة المتأثرة بالحرارة، لأن هذه العلاقة على ما يبدو غير خطية أساساً.

8- المقترنات والتوصيات:

- الإستفادة من نتاج هذه الدراسة لتنفيذ عمليات محاكاة رقمية لعملية القص بالليزر لأنّواح الأكريليك وذلك لدراسة هذه العملية والتبيؤ بنتائجها.
- الإعتماد على تقنيات الذكاء الصناعي للتوصّل إلى طريقة للتبيؤ بقيم البارامترات التي تقلل من عرض المنطقة المتأثرة بالحرارة بشكل كبير وذلك دون الحاجة للقيام بعدد كبير من العمليات التجريبية المكلفة.
- الإعتماد على نتائج هذه الدراسة لفهم العلاقات المتباينة بين بارامترات القص المدروسة وبين عرض المنطقة المتأثرة بالحرارة التي تظهر على جانبي الشق الناتج عن عملية قص ألواح الأكريليك بلizer ثاني أوكسيد الكربون.
- الاستفادة من هذه الدراسة لتحديد قيم البارامترات المثلثي التي تقلل من عرض المنطقة المتأثرة بالحرارة وهذا ما يساعد في تحسين جودة عملية القص بالليزر لأنّواح الأكريليك.

8. Mahmoud Moradi,Mojtaba Karami Moghadam,Mahmoud Shamsborhan,Zeinab Malekshahi ,Beiranvand,Alireza Rasouli,Mahdi Vahdati,Arash Bakhtiari,Mahdi Bodaghi “Simulation,statistical modeling, and optimization of CO_2 laser cutting process of polycarbonate sheets “ . Optik 2020 .<https://doi.org/10.1016/j.ijleo.2020.164932>.
9. Tan Hoai Nguyen , Chih-Kuang Lin , Pi-Cheng Tung , Cuong Nguyen-Van , Jeng-Rong Ho " An extreme learning machine for predicting kerf waviness and heat affected zone in pulsed laser cutting of thin non-oriented silicon steel" Optics and Lasers in Engineering 134 (2020) 106244,<https://doi.org/10.1016/j.optlaseng.2020.106244>.
10. C. Leone, E. Mingione, S. Genna "Laser cutting of CFRP by Quasi-Continuous Wave (QCW) fibre laser: Effect of process parameters and analysis of the HAZ index" Composites Part B 224 (2021),<https://doi.org/10.1016/j.compositesb.2021.109146>.
11. C. F. Jeff Wu, Michael S. Hamada "Experiments Planning, Analysis and Optimization" (Third Edition 2021), Wiley, ISBN 9781119470151.
12. Getting Started with Minitab Statistical Software, support.minitab.com/minitab/21
13. CO₂Laser Tube – Model W. Instruction Manual. By(Beijing Reci Laser Technology)
14. Bernd Skiera,Jochen Reiner, and Sönke Albers “ Regression Analysis “. 2018. https://doi.org/10.1007/978-3-319-05542-8_17-1.

References:

1. Ammar H. Elsheikh, Wu Deng, Ezzat A. Showaib "Improving laser cutting quality of polymethylmethacrylate sheet: experimental investigation and optimization" j of materials Research and technology.2020,9(2):1325–1339,https://doi.org/10.1016/j.jmrt.2019.11.059.
2. Ahmed B. Khoshaim, Ammar H. Elsheikh, Essam B. Moustafa, Muhammad Basha, Ezzat A. Showaib "Experimental investigation on laser cutting of PMMA sheets: Effects of process factors on kerf characteristics " journal of materials research and technology 2021;11:235e246. https://doi.org/10.1016/j.jmrt.2021.01.012.
3. J. Lawrence, J. Pou, D. K. Y. Low, E. Toyserkani " Advances in laser materials processing" (2010), Woodhead Publishing Limited, ISBN 978-1-84569-981-9.
4. Krzysztof Jarosz, Piotr Lōschner, Piotr Niesłony "Effect of cutting speed on surface quality and heat-affected zone in laser cutting of 316L stainless steel" International Conference on Manufacturing Engineering and Materials (2016) ,doi: 10.1016/j.proeng.2016.06.650.
5. Dalibor Petković, Vlastimir Nikolić, Miloš Milovančević, Lyubomir Lazov "Estimation of the most influential factors on the laser cutting process heat affected zone (HAZ) by adaptive neuro-fuzzy technique" Infrared Physics & Technology (2016), doi:<http://dx.doi.org/10.1016/j.infrared.2016.05.005>.
6. Mahsa Mokhtarian, Aazam Ghassemi "Experimental Study of the Effect of Laser-Cutting Process Parameters on Heat Distribution and Cutting Edge Quality of Steel Sheets" Journal of Simulation & Analysis of Novel Technologies in Mechanical Engineering, 11 (1) (2018) 0035~0058.
7. E. Haddadi,M. Moradi,A. Karimzad Ghavidel,A. Karimzad Ghavidel, and S. Meiabadi,“Experimental and parametric evaluation of cut quality characteristics in CO_2 laser cutting of polystyrene ” Optik (Stuttg).,vol. 184,no. February,pp. 103–114,2019 DOI: 10.1016/j.ijleo.2019.03.040